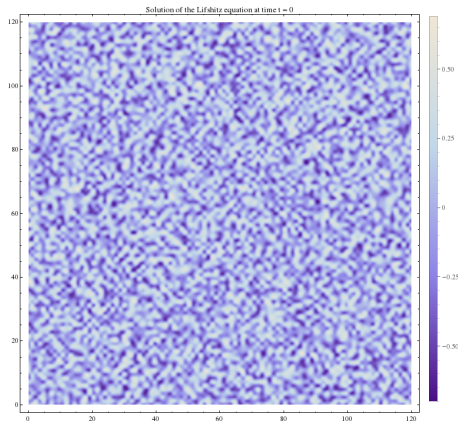


Étude du point de Lifshitz par le groupe de renormalisation non perturbatif.

Nicolas Macé

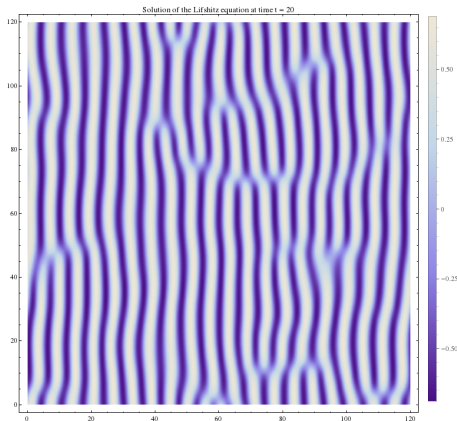
Responsable de stage : Dominique Mouhanna

Stage du 13 janvier au 7 mars 2014 au
Laboratoire de physique théorique de la matière condensée
(LPTMC)
UMPC



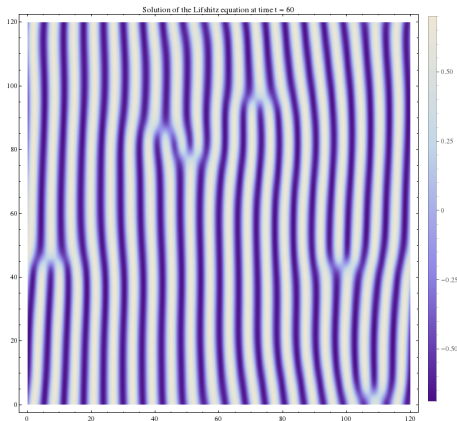
Modèle de Lifshitz : champ $\phi(x)$ à n composantes, **anisotrope**.

Phase de Lifshitz : $\phi(x)$ **périodique** dans m directions de l'espace de dimension d .



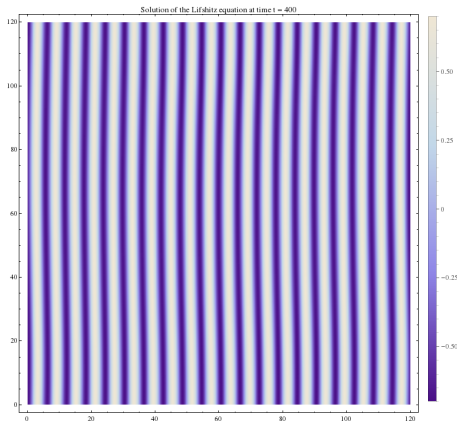
Modèle de Lifshitz : champ $\phi(x)$ à n composantes, **anisotrope**.

Phase de Lifshitz : $\phi(x)$ **périodique** dans m directions de l'espace de dimension d .



Modèle de Lifshitz : champ $\phi(x)$ à n composantes, **anisotrope**.

Phase de Lifshitz : $\phi(x)$ **périodique** dans m directions de l'espace de dimension d .



Modèle de Lifshitz : champ $\phi(x)$ à n composantes, **anisotrope**.

Phase de Lifshitz : $\phi(x)$ **périodique** dans m directions de l'espace de dimension d .

Intérêt expérimental

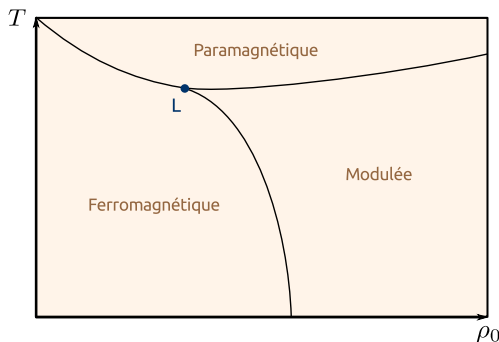
Description de nombreux systèmes : cristaux magnétiques (MnP), ferroélectriques, cristaux organiques (TTF-TCNQ),...

Intérêt théorique

Un exemple de système anisotrope "fort" : les exposants critiques dépendent de la direction.

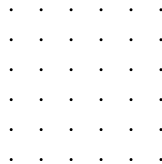
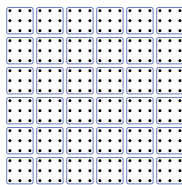
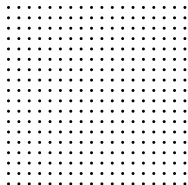
Hamiltonien de Lifshitz

$$H[\phi] = \int_x \frac{1}{2}(\partial_{\perp}\phi)^2 + \frac{\rho_0}{2}(\partial_{\parallel}\phi)^2 + \frac{\sigma_0}{2}(\partial_{\parallel}^2\phi)^2 + U(\rho), \quad \rho \stackrel{\text{déf}}{=} \frac{\phi^2}{2}$$



En champ moyen $\rho_0^{\text{Lif}} = 0 \rightarrow$ ajout d'un terme d'ordre ∂_{\parallel}^4 .

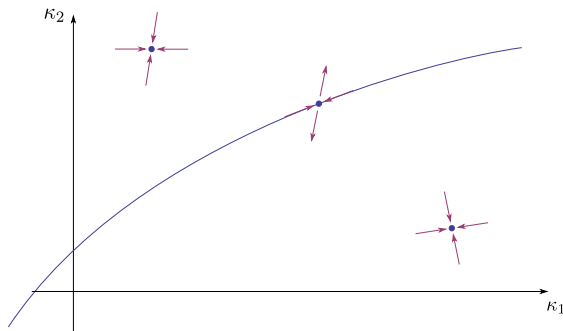
Problème à N corps \rightarrow fluctuations à toutes les échelles
 Renormalisation : considérer le problème échelle par échelle.



(a) Réseau initial (b) Blocs de spin (c) Moyennage (d) Rescaling

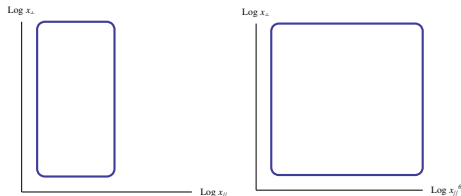
$$H[\phi(x_i)] \rightarrow \tilde{H}[\tilde{\phi}(x_b)] \rightarrow \left. \begin{array}{l} x' = x/S \\ \phi' = S^\Delta \phi \end{array} \right\} H'[\phi'(x'_i)]$$

$H'[\phi']$: décrit le système à l'échelle $\lambda = 3a$.



$T = T_c$ (et $\rho_0 = \rho_{0c}$) \rightarrow **point fixe** sur la surface critique
 Voisinage du point fixe : lois d'échelle \rightarrow exposants critiques

$$H[\phi] = \sum_{i,\alpha} \kappa_\alpha O_\alpha[\phi(x_i), \nabla\phi(x_i), \dots] \rightarrow H'[\phi'] = \sum_{i',\alpha} \kappa'_{\alpha} O_\alpha[\phi'(x'_{i'}), \dots]$$



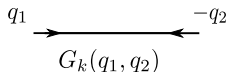
Blocs de spin avant et après introduction de θ .

Directions inéquivalentes \implies échelles inéquivalentes $S_{//}$, S_{\perp} .
On introduit θ tel que $S_{//} = S_{\perp}^{\theta}$.

Résultats du champ moyen

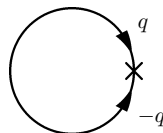
$$\theta_{\text{cm}} = \frac{1}{2}, \quad d_c^> = 4 + \frac{m}{2}$$

Équation de Wetterich : évolution exacte de $\Gamma_k[\phi]$, action effective à l'échelle $k \propto S^{-1}$.



$$G_k(q_1, q_2)$$

$$\partial_t \bar{\Gamma}_k = \frac{1}{2}$$



$$G_k(q_1, q_2; \phi) = \left(\Gamma_k^{(2)}[\phi] + R_k \right)_{q_1, q_2}^{-1}$$

$$\partial_k \Gamma_k[\phi] = \frac{1}{2} \int_q \partial_k R_k(q) G_k(q, -q; \phi)$$

$$H[\phi] = \int_x \frac{1}{2}(\partial_{\perp}\phi)^2 + \frac{\rho_0}{2}(\partial_{\parallel}\phi)^2 + \frac{\sigma_0}{2}(\partial_{\parallel}^2\phi)^2 + U(\rho)$$

Symétries \implies forme générale de l'action effective de Lifshitz :

$$\Gamma_k[\phi] = \int_x U(\rho) + \frac{1}{2}Z_{\perp}(\rho)(\partial_{\perp}\phi)^2 + \frac{1}{4}Y_{\perp}(\rho)(\partial_{\perp}\rho)^2 + \dots \\ + \frac{1}{2}\rho_0(\rho)(\partial_{\parallel}\phi)^2 + \dots + \frac{1}{2}Z_{\parallel}(\rho)(\partial_{\parallel}^2\phi)^2 + \dots$$

Pour calculer les exposants critiques la structure impulsionnelle importe peu \rightarrow simplifications.

Forme définitive de l'Ansatz :

$$\Gamma_k[\phi_i] = \int_x \frac{Z_{\perp}}{2}(\partial_{\perp}\phi)^2 + \frac{\rho_0}{2}(\partial_{\parallel}\phi)^2 + \frac{Z_{\parallel}}{2}(\partial_{\parallel}^2\phi)^2 + U(\rho).$$

Prise en compte de **potentiel complet**.

Équations de flot du modèle

- $$k \partial_k u_k(\rho) = -d_m u_k(\rho) + (\theta \eta_{//} + d_m - 4\theta) \rho u'_k(\rho) + 8 v_m v_{d-m} (l_0^{d_m} (u'_k(\rho) + 2\rho u''_k(\rho)) + (n-1) l_0^{d_m} (u'_k(\rho)))$$
- $$k \partial_k \rho_0 = -\theta (2 - \eta_{//}) \rho_0 - 64 \frac{v_{d-m} v_m}{m} \rho u^{(2)}(\rho)^2 m_{1,2202}$$

Approximation du potentiel local : $\theta \simeq \theta_{\text{cm}} = \frac{1}{2}$, $\eta_{//,\perp} \simeq \eta_{\text{cm}} = 0$.

Voisinage du point de Lifshitz \rightarrow résolution des **équations de point fixe** : $\partial_k u = 0$, $\partial_k \rho_0 = 0$.

Équations de point fixe :

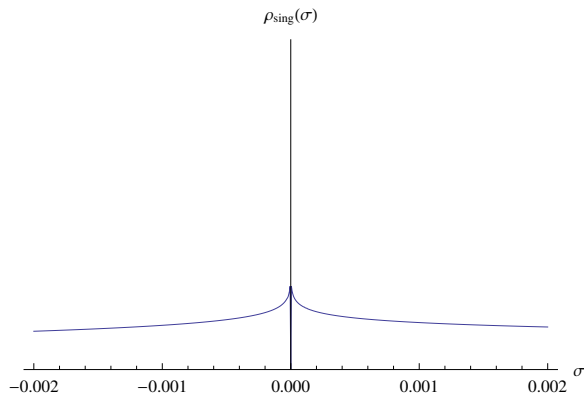
- $0 = u(\rho) - a\rho u'(\rho) + b(\rho_0) \left(\frac{1}{1+\rho_0+u'(\rho)+2\rho u''(\rho)} + \frac{n-1}{1+\rho_0+u'(\rho)} \right)$
- $\rho_0 = 64 \frac{v_d - m v_m}{m} \rho u^{(2)}(\rho)^2 m_{1,2202}$

Conditions initiales :

$$u'(0) = \sigma$$

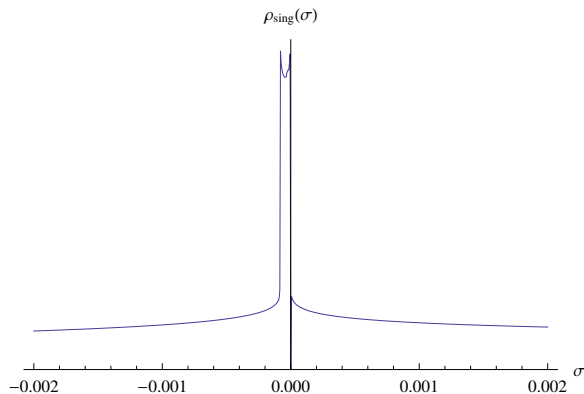
$$u(0) = nb(\rho_0)/(1 + \sigma)$$

Singularité à $\rho_{\text{sing}}(\sigma) < \infty$, sauf si $\sigma = \sigma_c$, **température critique**.



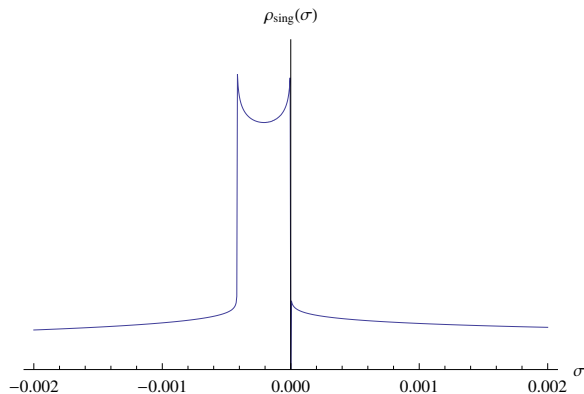
- $d=4.500$

Position de la singularité ρ_{sing} en fonction de la condition initiale σ .



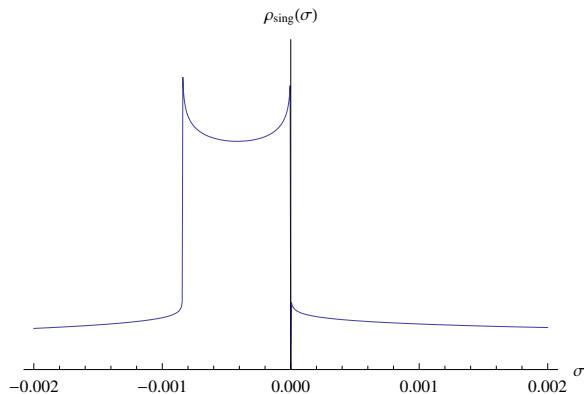
- $d=4.499$

Position de la singularité ρ_{sing} en fonction de la condition initiale σ .



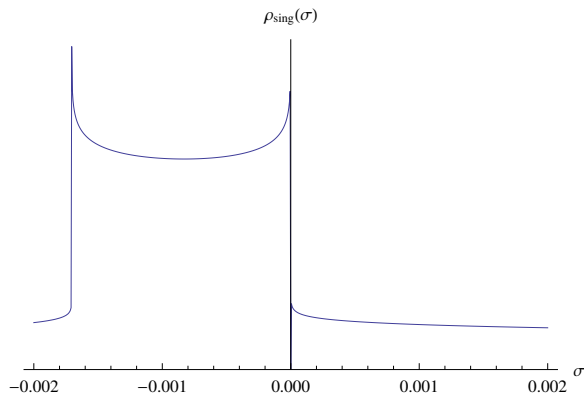
- $d=4.495$

Position de la singularité ρ_{sing} en fonction de la condition initiale σ .



- $d=4.490$

Position de la singularité ρ_{sing} en fonction de la condition initiale σ .

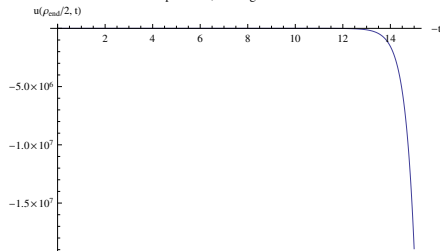


- $d=4.480$

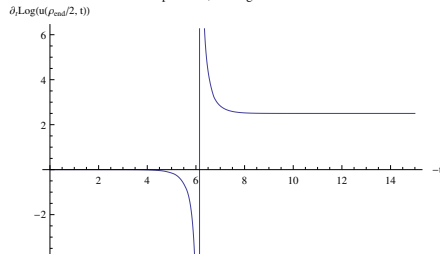
Position de la singularité ρ_{sing} en fonction de la condition initiale σ .

Flot du potentiel

Flow of the potential, starting from the FP solution.



Flow of the potential, starting from the FP solution.



$$u_t(\rho) = u(\rho) + \delta u_{\parallel}(\rho)e^{t/\nu_{\parallel}} + \delta u_{\perp}(\rho)e^{t/\nu_{\perp}}$$

$$t \stackrel{\text{déf}}{=} \log k$$

	nos résultats	dév. perturbatif	Wilson-Polchinski
ν_{\parallel}	0.399	0.392	0.317
ν_{\perp}	0.799	0.798	0.634

- Calcul des exposants critiques d'un modèle non trivial, par une méthode originale.
- Prise en compte du potentiel complet.
- Prochain objectif : prise en compte des dimensions anormales.